

ANEXOS A LA SOLICITUD DE DEPÓSITO DE LA  
LÍNEA CELULAR **IC-PD2-F-iPS-4F-1** EN EL BANCO  
NACIONAL DE LÍNEAS CELULARES

ANNEXES TO THE APPLICATION FORM FOR DEPOSITING  
**IC-PD2-F-iPS-4F-1** CELL LINE  
INTO THE NATIONAL BANK OF STEM CELL LINES

## ANEXOS / ANNEXES

Anexo 1: Test de pluripotencia de la línea [IC-PD2-F-iPS-4F-1](#)  
Annex 1: Pluripotency Test

Anexo 2: Test de diferenciación in vitro de la línea [IC-PD2-F-iPS-4F-1](#)  
Annex 2: In vitro differentiation Test

Anexo 3: Cariotipo de la línea [IC-PD2-F-iPS-4F-1](#)  
Annex 3: Karyotype

Anexo 4: Huella genética de la línea [IC-PD2-F-iPS-4F-1](#)  
Annex 4: Genetic fingerprinting

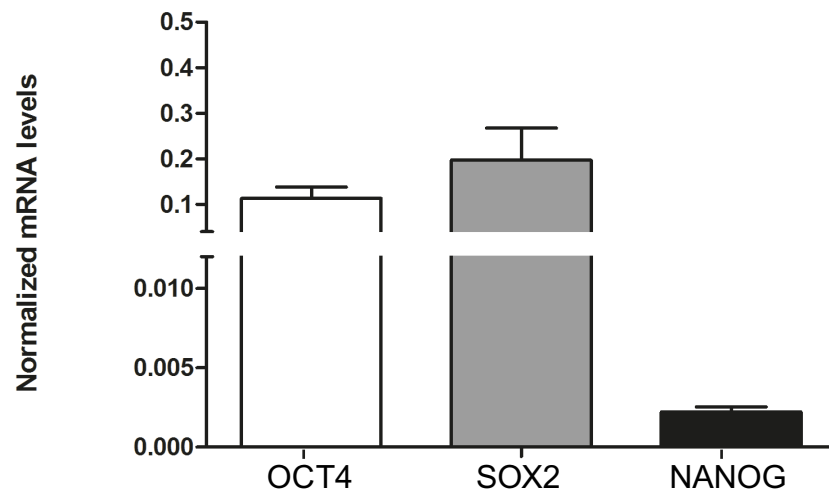
Anexo 5: Test de silenciamiento de la línea [IC-PD2-F-iPS-4F-1](#)  
Annex 5: Silencing Test

Anexo 6: Confirmación del diagnóstico genotípico de la línea [IC-PD2-F-iPS-4F-1](#)  
Annex 6: Confirmation of genotypic diagnosis of the line

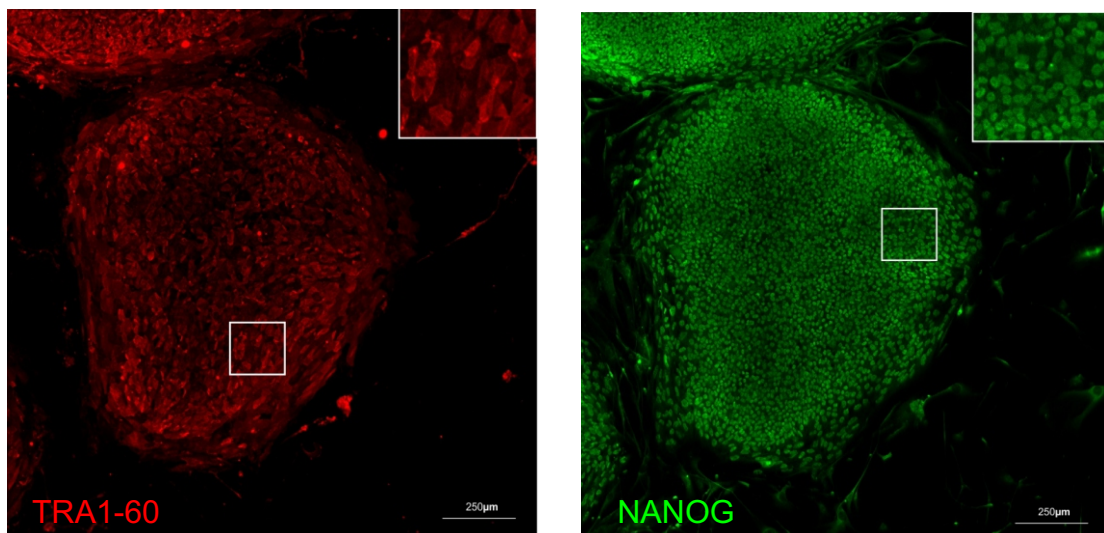
Anexo 7: Test de micoplasma de la línea [IC-PD2-F-iPS-4F-1](#)  
Annex 7: Mycoplasma Test

Anexo 1  
Test de pluripotencia de la línea IC-PD2-F-iPS-4F-1

Annex 1  
Pluripotency Test

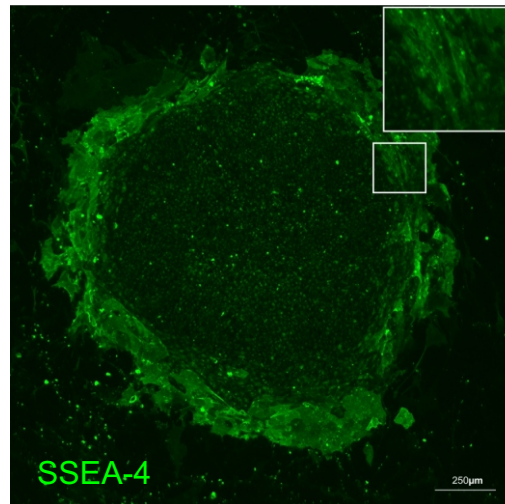


Niveles de expresion de OCT4, SOX2 y NANOG de la línea IC-PD2-F-iPS-4F-1  
Expression levels of OCT4, SOX2 and NANOG

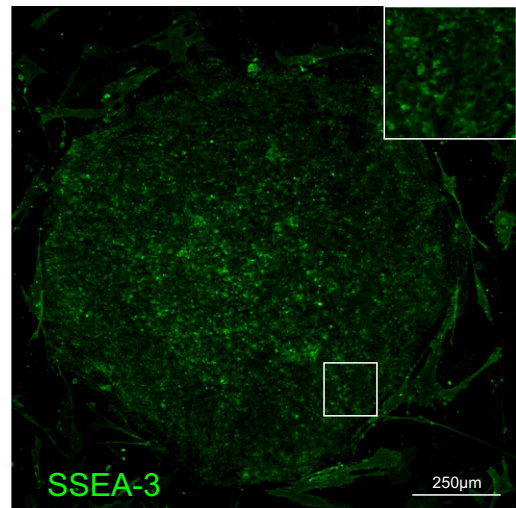
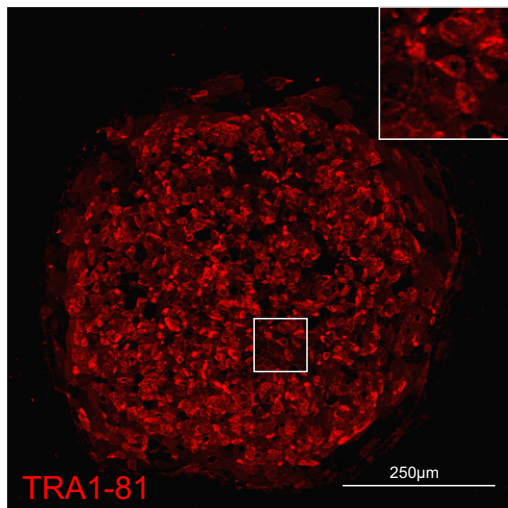


Detección por inmunofluorescencia de la expresion de TRA1-60 y NANOG en la línea IC-PD2-F-iPS-4F-1

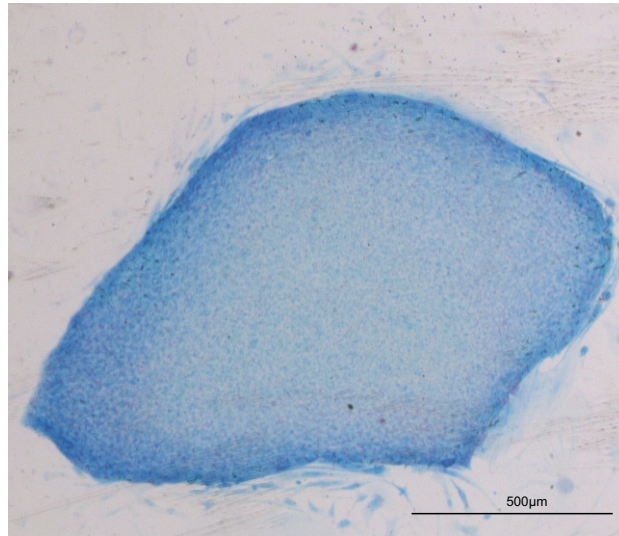
Immunofluorescence detection of TRA1-60 and NANOG expression



Detección por inmunofluorescencia de la expresión de SSEA-4  
en la línea IC-PD2-F-iPS-4F-1  
Immunofluorescence detection of SSEA-4 expression



Detección por inmunofluorescencia de la expresión de TRA1-81 y SSEA-3 en  
la línea IC-PD2-F-iPS-4F-1  
Immunofluorescence detection of TRA1-81 and SSEA-3 expression

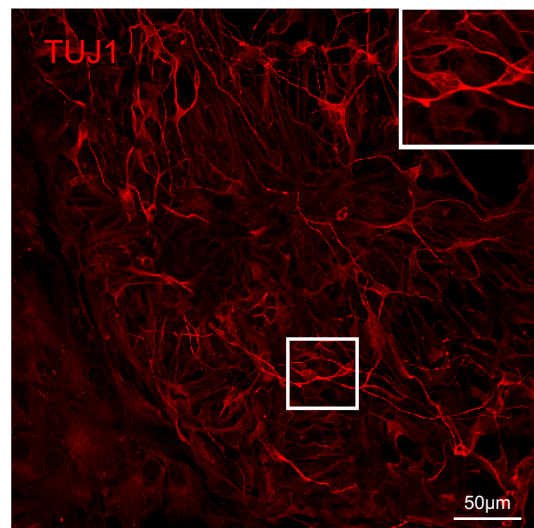
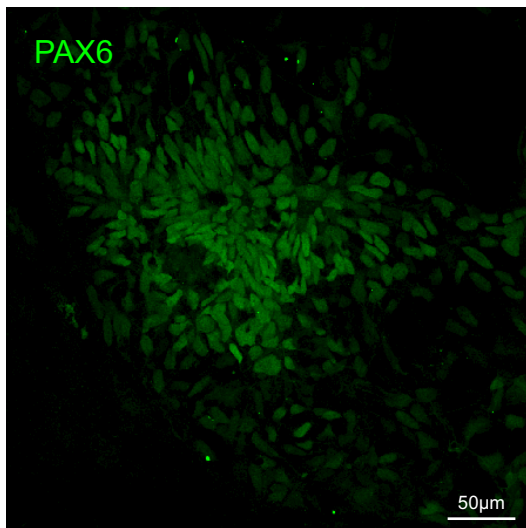


Detección por inmunocitoquímica de la actividad fosfatasa alcalina  
en la línea IC-PD2-F-iPS-4F-1

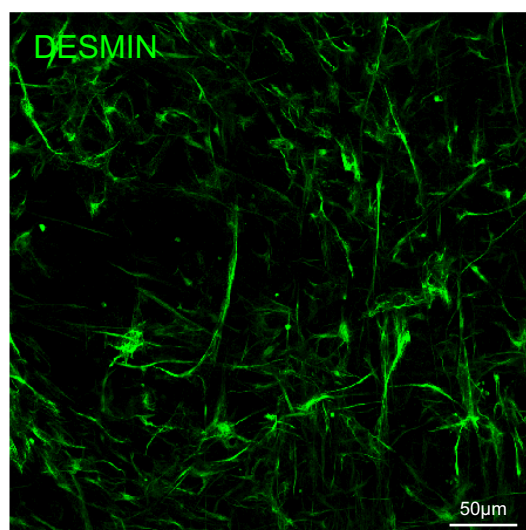
Immunocytochemistry detection of alkaline phosphatase activity

Anexo 2  
Test de diferenciación in vitro de la línea IC-PD2-F-iPS-4F-1

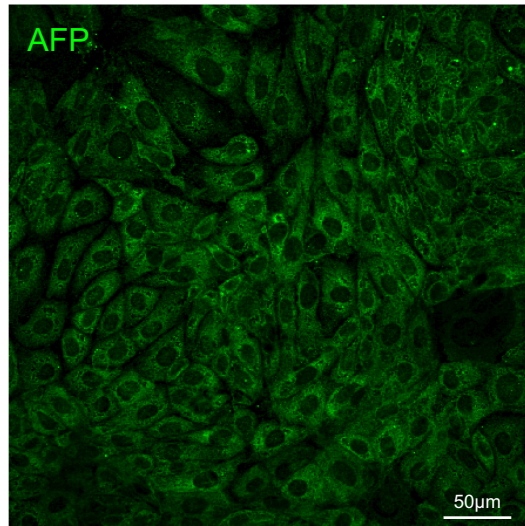
Annex 2  
In vitro differentiation Test



Diferenciación in vitro a Ectodermo de la línea IC-PD2-F-iPS-4F-1. Células positivas para PAX6 y TUJ1.  
In vitro differentiation into Ectoderm. PAX6 and TUJ1 positive cells.



Diferenciación in vitro a Mesodermo de la línea IC-PD2-F-iPS-4F-1. Células positivas para DESMIN.  
In vitro differentiation into Mesoderm. DESMIN positive cells.

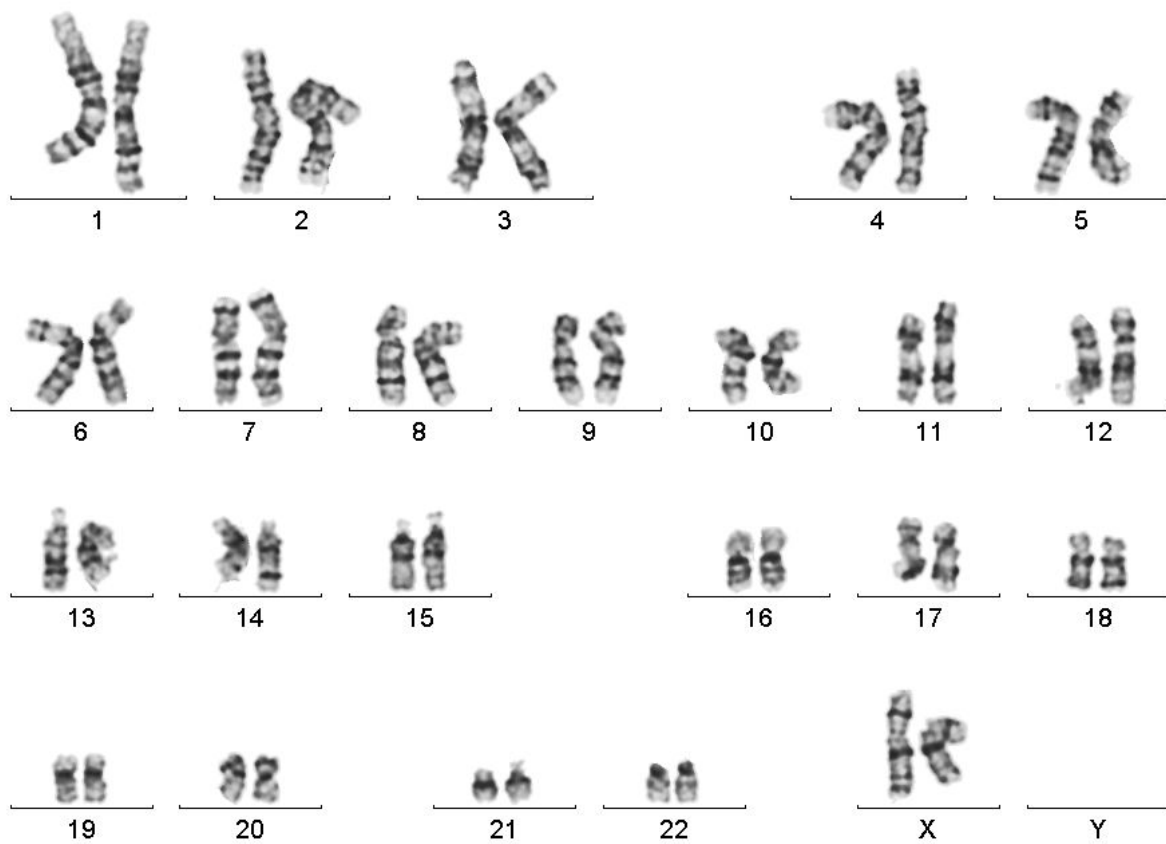


Diferenciación in vitro a Endodermo de la línea [IC-PD2-F-iPS-4F-1](#). Células positivas para alfa-fetoproteína.

In vitro differentiation into Endoderm. Alpha-fetoprotein positive cells.

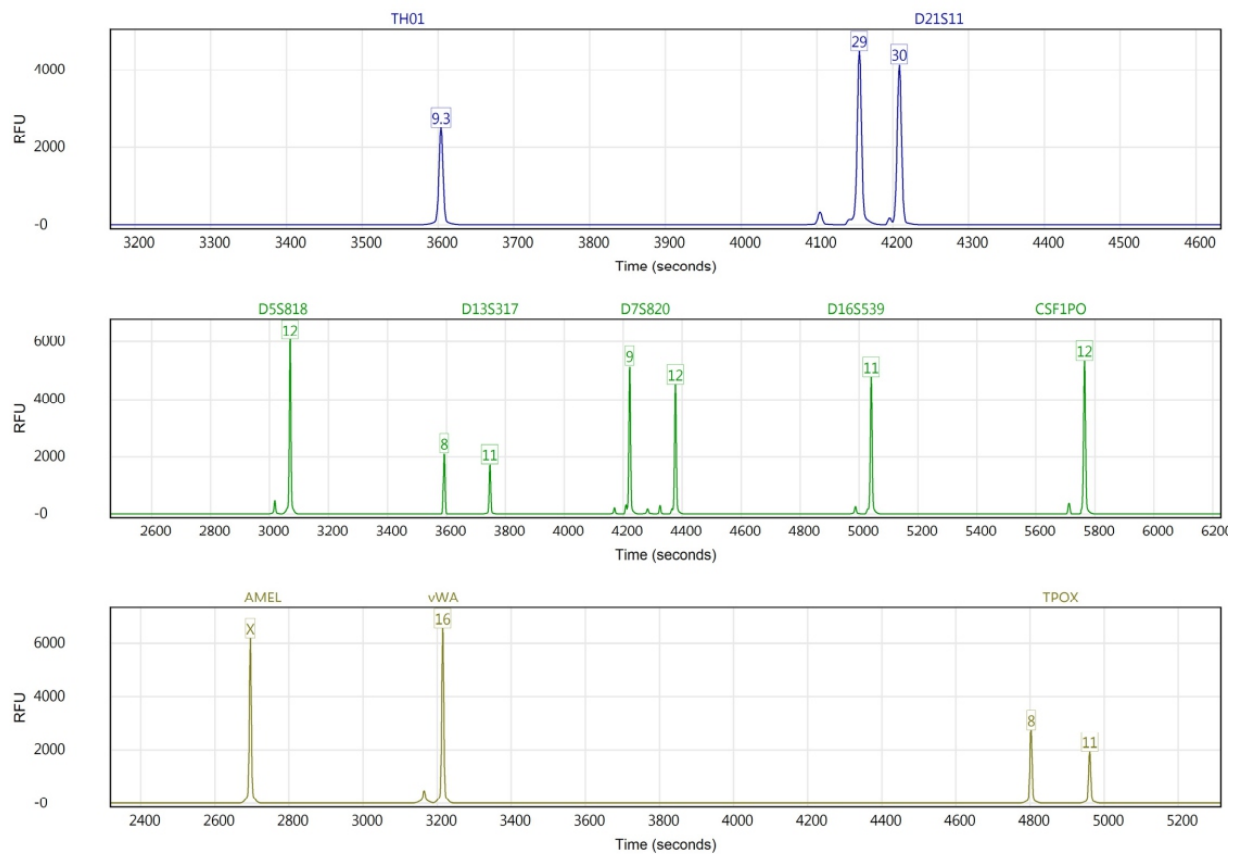
Anexo 3  
Cariotipo de la línea IC-PD2-F-iPS-4F-1

Annex 3  
Karyotype



## Anexo 4 Huella genética de la línea IC-PD2-F-iPS-4F-1.

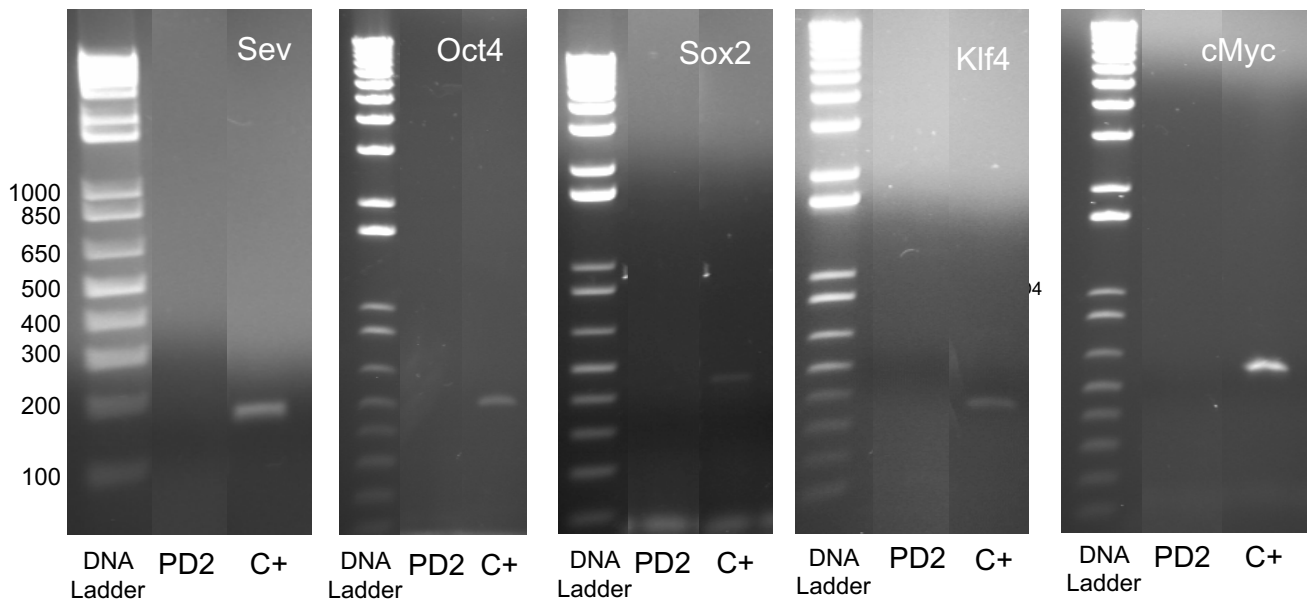
### Annex 4 Genetic fingerprinting



GenePrint10 Marker	Test Sample Profile
TH01	9, 9.3
D21S11	29, 30
D5S818	12
D13S317	8, 11
D7S820	9, 12
D16S539	11
CSF1PO	12
AMEL	X
vWA	16
TPOX	8, 11

Anexo 5  
Test de silenciamiento de la línea IC-PD2-F-iPS-4F-1

Annex 5  
Silencing Test



Gene	Primer (5'-3')	Length
Sev	Forward	GGA TCA CTA GGT GAT ATC GAG C*
	Reverse	ACC AGA CAA GAG TTT AAG AGA TAT GTA TC*
Oct4	Forward	ATG CAC CGC TAC GAC GTG AGC GC
	Reverse	AAT GTA TCG AAG GTG CTC AA*
Sox2	Forward	TTC CTG CAT GCC AGA GGA GCC C
	Reverse	AAT GTA TCG AAG GTG CTC AA*
Klf4	Forward	TAA CTG ACT AGC AGG CTT GTC G*
	Reverse	TCC ACA TAC AGT CCT GGA TGA TGA TG
cMyc	Forward	CCC GAA AGA GAA AGC GAA CCA G
	Reverse	AAT GTA TCG AAG GTG CTC AA*

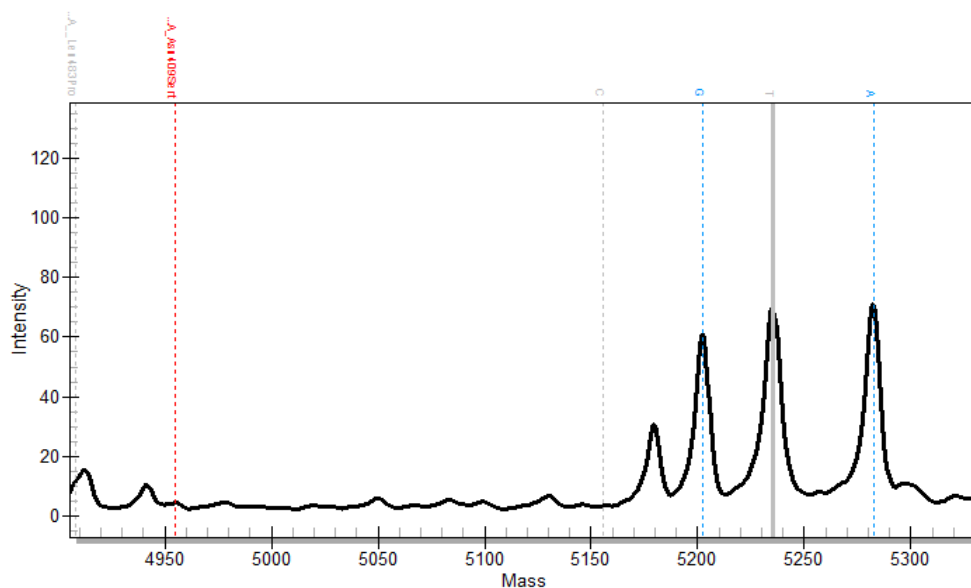
\* Primer contains SeV genome sequences. Pairing of these primers with transgene-specific primers allows specific detection of transgenes carried by the CytoTune™ Sendai reprogramming vectors. Note that the same reverse primer is used for detecting Sox2, Klf4, and Oct4.

Anexo 6  
Confirmación del diagnóstico genotípico de la línea IC-PD2-F-iPS-4F-1

Annex 6  
Confirmation of genotypic diagnosis of the line

Alelo	cDNA	Proteína	Exon
N370S	c. 1226 A > G	p. Asn 409 Ser	9

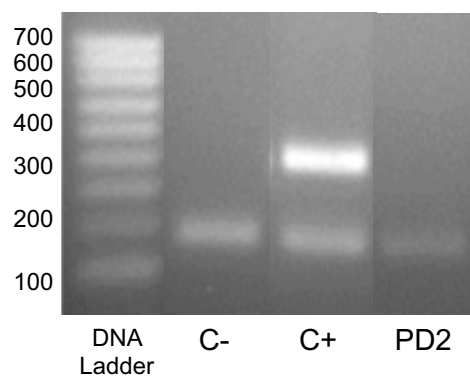
GBA\_Asn409Sert



El espectro de masas a partir de muestras que presentan la mutación N370S en heterocigosis muestra picos de A y G en las posiciones en torno a 5200 y 5280, respectivamente.

Anexo 7  
Test de micoplasma de la línea IC-PD2-F-iPS-4F-1

Annex 7  
Mycoplasma Test



- Contaminación: Bandas entre 448-611 bp Micoplasma positivo
- Control interno 270 bp
- A mayor contaminación menos amplificación del control interno
- C- : control interno
- C+ : control positivo de cultivo contaminado con micoplasma